



**Escuela Superior
de Ingeniería y Tecnología**
Universidad de La Laguna

Informe de Prácticas

Robótica Computacional

Grado en Ingeniería Informática

José Ramón Morera Campos

La Laguna, 31 de diciembre de 2024

Índice general

1. Introducción	1
2. Cinemática Directa	2
2.1. Código Implementado	2
2.1.1. Análisis	2
2.1.2. Complejidad	3
2.2. Mejoras	4
2.3. Ejemplo	4
2.3.1. Código	4
2.3.2. Ejecución	4
2.4. Conclusiones	5
3. Cinemática Inversa	10
3.1. Código Implementado	10
3.1.1. Análisis	10
3.1.2. Complejidad	11
3.1.3. Fé de erratas	12
3.2. Mejoras	12
3.2.1. Lectura de JSON	13
3.2.2. Propuestas	13
3.3. Ejemplos de Ejecución	13
3.3.1. Ejecución 1	14
3.3.2. Ejecución 2	14
3.3.3. Ejecución 3	14
3.4. Conclusiones	15
4. Localización	20
4.1. Código Implementado	20
4.1.1. Análisis	20
4.1.2. Complejidad	21
4.2. Mejoras	21
4.2.1. Ajuste de la orientación	22
4.2.2. Uso de incremento piramidal	22
4.2.3. Cálculo de un radio inicial en función de las balizas y margen	23
4.3. Ejemplos de ejecución	23
4.3.1. Ejemplo 1	23
4.3.2. Ejemplo 2	24
4.3.3. Ejemplo 3	25
4.3.4. Ejemplo 4	25

4.4. Conclusions	25
----------------------------	----

5. **Filtro de Partículas** **29**

5.1. Código Implementado	29
5.1.1. Análisis	29
5.1.2. Complejidad	29
5.2. Mejoras	29
5.2.1. Ajuste de la orientación	29
5.2.2. Uso de incremento piramidal	29
5.2.3. Cálculo de un radio inicial en función de las balizas y margen	29
5.3. Ejemplos de ejecución	29
5.4. Conclusions	29

Índice de Figuras

2.1. Porción del código que se debe modificar para cada manipulador	3
2.2. Manipulador 3	4
2.3. Código para el manipulador 3	6
2.4. Ejecución 1	7
2.5. Ejecución 2	7
2.6. Ejecución 2, perspectiva vertical	8
2.7. Ejecución 3	8
2.8. Ejecución 3, perspectiva vertical	9
3.1. Código del CCD para articulaciones prismáticas	11
3.2. Código del CCD para articulaciones de revolución	12
3.3. Código para la lectura de JSON	13
3.4. Ejemplo de fichero JSON para un robot de 3 articulaciones	14
3.5. Ejemplo de fichero JSON para un robot de 5 articulaciones	16
3.6. Primera iteración para objetivo 10,10	17
3.7. Última iteración para objetivo 10,10	17
3.8. Primera iteración para objetivo -20,-20	18
3.9. Última iteración para objetivo -20,-20	18
3.10 Última iteración para objetivo 10,10	19
3.11 Salida por consola cuando no converge	19
4.1. Primera parte de la función de localización	21
4.2. Fin de la función de localización	22
4.3. Localización inicial	22
4.4. Corrección de la posición	23
4.5. Parámetros de la localización	23
4.6. Primera iteración de la localización inicial	24
4.7. Última iteración de la localización inicial	25
4.8. Trayectoria del ejemplo 1	26
4.9. Trayectoria del ejemplo 2	27
4.10 Trayectoria del ejemplo 3	27
4.11 Trayectoria del ejemplo 4	28

Capítulo 1

Introducción

En este informe se analizan las cuatro prácticas realizadas a lo largo de la asignatura de Robótica Computacional.

Se estudia el comportamiento de los programas realizados, mostrando ejemplos con diversas configuraciones de parámetros. Adicionalmente, se explican las modificaciones realizadas, así como otras propuestas de mejora.

Finalmente, para cada práctica se exponen unas breves conclusiones sobre los resultados obtenidos. Dichas conclusiones se exponen en inglés, siguiendo los requisitos del informe.

Capítulo 2

Cinemática Directa

En esta práctica se calcula la cinemática directa para manipuladores tridimensionales. Esto es, a partir de la morfología del robot y de las variables articulares, se calculan las coordenadas de cada articulación.

En el código, se puede modificar la morfología del robot indicando la longitud de los elementos rígidos, así como la existencia de articulaciones de revolución o prismáticas. Al ejecutar el script se indican los valores de las variables articulares.

2.1. Código Implementado

2.1.1. Análisis

El script proporcionado contiene todo el código necesario para calcular la cinemática directa y visualizar los manipuladores. Solamente se deben modificar ciertos parámetros para adaptar el script a la morfología del robot:

- `nvar` Número de variables que se introduzcan al ejecutar el programa, correspondientes a las variables articulares.
- Parámetros de Denavit-Hartenberg son 4 vectores, uno para cada parámetro. El tamaño del vector se corresponde al número de articulaciones.
- Orígenes para cada articulación un vector con las coordenadas homogéneas de cada articulación.
- Matrices `T` son matrices que permiten realizar la transformación de un sistema de coordenadas a otro. Las matrices entre sistemas consecutivos son triviales, y se construyen con sus parámetros de Denavit-Hartenberg. Las matrices que describen la transformación entre sistemas no consecutivos se obtienen multiplicando las matrices de transformación de los sistemas intermedios. Por ejemplo, la matriz `T02`, que transforma el sistema de coordenadas 0 al 2, se obtiene realizando el producto de las matrices `T01` y `T12`.
- Coordenadas de cada articulación se calcula el origen de coordenadas del sistema de cada articulación mediante el producto de la matriz de transformación `T0X` y el origen de coordenadas `oXX`.

- Visualización del robot se deben modificar las instrucciones de visualización para adaptarlas a la morfología del robot, incluyendo los orígenes de coordenadas calculados que se quieren visualizar.

En la figura 2.1 se muestra el fragmento del script que se debe modificar.

```

95  # Introducción de los valores de las articulaciones
96  nvar=2 # Número de variables
97  if len(sys.argv) != nvar+1:
98      sys.exit('El número de articulaciones no es el correcto ('+str(nvar)+')')
99  p=[float(i) for i in sys.argv[1:nvar+1]]
100
101  # Parámetros D-H:
102  #      1      2
103  d = [ 0, 0]
104  th = [p[0],p[1]]
105  a = [ 10, 5]
106  al = [ 0, 0]
107
108  # Orígenes para cada articulación
109  o00=[0,0,0,1]
110  o11=[0,0,0,1]
111  o22=[0,0,0,1]
112
113  # Cálculo matrices transformación
114  T01=matriz_T(d[0],th[0],a[0],al[0])
115  T12=matriz_T(d[1],th[1],a[1],al[1])
116  T02=np.dot(T01,T12)
117
118  # Transformación de cada articulación
119  o10 =np.dot(T01, o11).tolist()
120  o20 =np.dot(T02, o22).tolist()
121
122  # Mostrar resultado de la cinemática directa
123  muestra_origenes([o00,o10,o20])
124  muestra_robot ([o00,o10,o20])
125  input()
126

```

Figura 2.1: Porción del código que se debe modificar para cada manipulador

Al ejecutar el código se deben proporcionar como parámetros los valores de las variables articulares: unidades de longitud en el caso de las articulaciones prismáticas, y grados de rotación en el caso de las articulaciones de revolución.

2.1.2. Complejidad

La complejidad del código depende del número de articulaciones del manipulador. Por cada nueva articulación, solamente es necesario realizar dos productos de matrices de transformación homogénea. Uno para obtener la matriz de transformación y otro para obtener las coordenadas de la articulación. Por tanto, la complejidad es lineal respecto al número de articulaciones.

2.2. Mejoras

En esta práctica no se han implementado mejoras, pero se proponen algunas que podrían ser interesantes.

- Lectura de JSON se podría implementar la lectura de la morfología del robot desde un fichero JSON, evitando tener que modificar el script para cada manipulador.
- Modificación de los parámetros en tiempo real Sería de gran utilidad poder modificar las variables articulares mientras se visualiza el manipulador, para poder estudiar fácilmente cómo lo afectan.

2.3. Ejemplo

Se emplea el Manipulador 3 de entre los propuestos para visualizar la cinemática directa. Se ha elegido puesto que tiene suficiente complejidad para ilustrar correctamente la práctica, pero sin ser excesiva.

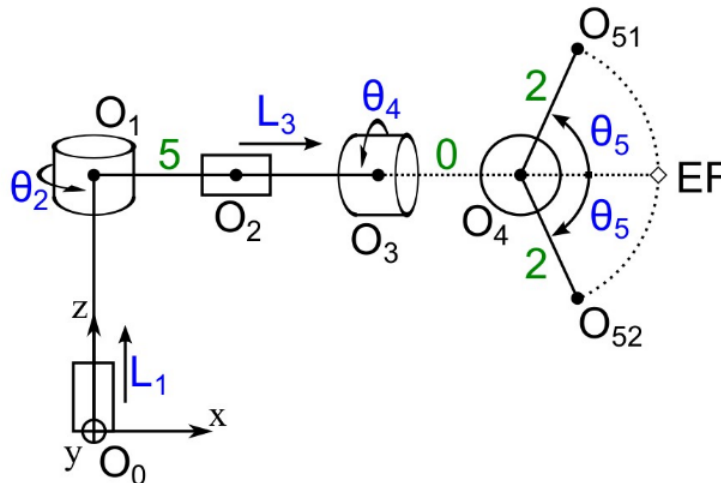


Figura 2.2: Manipulador 3

2.3.1. Código

La figura 2.3 muestra el código modificado para el manipulador 3. Cabe destacar que se necesita emplear un sistema de coordenadas auxiliar entre O1 y O2 para que el sistema sea dextrógiro y compatible Denavit-Hartenberg. También resulta reseñable que para la visualización del manipulador, en las 2 funciones pertinentes, los puntos O51 y O52 se agrupan en un mismo vector, para señalar que son 2 bifurcaciones desde el punto anterior.

2.3.2. Ejecución

En primer lugar, en la figura 2.4 se muestra un ejemplo de ejecución con todas las variables articulares a 0. Observamos que algunos orígenes se solapan, por ejemplo O0 y O1, o O51 y O52.

A continuación, probamos dando valor de 5 a las articulaciones prismáticas y 30° para la articulación O4. Dejamos el resto a 0. De esta forma, como observamos en la figura 2.5 el manipulador se asemeja al diagrama del ejercicio.

En último lugar, aplicamos una rotación de 30° en las articulaciones O1 y O3. Observamos el resultado en la figura 2.7.

De esta forma, hemos comprobado que el código funciona correctamente y que la descripción del manipulador realizada es correcta.

2.4. Conclusions

We have studied the forward kinematics of a 3D manipulator. We have seen that we can characterize any manipulator by its Denavit-Hartenberg parameters, and that it is easy and fast to calculate the coordinates of each joint. We have also seen that the visualization of the manipulator is very useful to understand its behavior and to check that the calculations made to obtain the parameters are correct.

Although the script provided is very useful, it has room for improvements. Also, we still have to manually calculate the Denavit-Hartenberg parameters, which can be a tedious task for complex manipulators.

```

nvar=5 # Número de variables
if len(sys.argv) != nvar+1:
    sys.exit('El número de articulaciones no es el correcto ('+str(nvar)+')')
p=[float(i) for i in sys.argv[1:nvar+1]]

# Parámetros D-H:
#      1      2      aux      3      4      51      52      EF
d = [p[0],    0,    5, p[2],    0,    0,    0,    0]
th = [ -90, p[1],    0,    0, p[3]-90, p[4]-90, -p[4]-90, -90]
a = [    0,    0,    0,    0,    0,    2,    2,    2]
al = [    0, -90,    0,    0, -90,    0,    0,    0]

# Orígenes para cada articulación
o00=[0,0,0,1]
o11=[0,0,0,1]
oauxaux=[0,0,0,1]
o22=[0,0,0,1]
o33=[0,0,0,1]
o44=[0,0,0,1]
o5151=[0,0,0,1]
o5252=[0,0,0,1]
oefef=[0,0,0,1]

# Cálculo matrices transformación
T01=matriz_T(d[0],th[0],a[0],al[0])
T1aux=matriz_T(d[1],th[1],a[1],al[1])
Taux2=matriz_T(d[2],th[2],a[2],al[2])
T23=matriz_T(d[3],th[3],a[3],al[3])
T34=matriz_T(d[4],th[4],a[4],al[4])
T451=matriz_T(d[5],th[5],a[5],al[5])
T452=matriz_T(d[6],th[6],a[6],al[6])
T4ef=matriz_T(d[7],th[7],a[7],al[7])

T0aux=np.dot(T01, T1aux)
T02=np.dot(T0aux,Taux2)
T03=np.dot(T02,T23)
T04=np.dot(T03,T34)
T051=np.dot(T04,T451)
T052=np.dot(T04,T452)
T0ef=np.dot(T04,T4ef)

# Transformación de cada articulación
o10 =np.dot(T01, o11).tolist()
o20 =np.dot(T02, o22).tolist()
o30 =np.dot(T03, o33).tolist()
o40 =np.dot(T04, o44).tolist()
o510 =np.dot(T051, o5151).tolist()
o520 =np.dot(T052, o5252).tolist()
oef0 =np.dot(T0ef, oefef).tolist()

# Mostrar resultado de la cinemática directa
muestra_origenes([o00,o10,o20,o30, o40, [o510, o520], oef0])
muestra_robot   ([o00,o10,o20,o30, o40, [[o510], [o520]]], oef0)
input()

```

Figura 2.3: Código para el manipulador 3

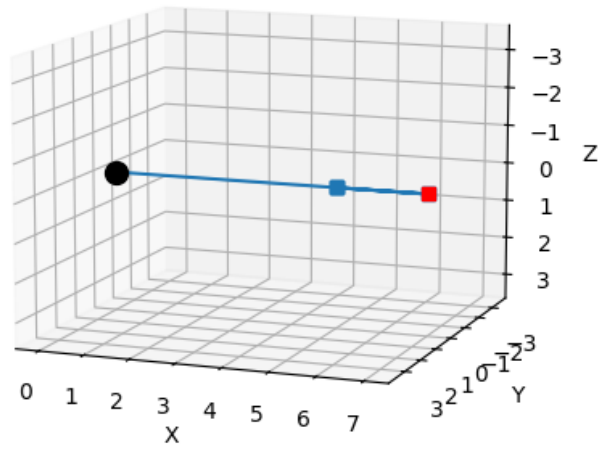


Figura 2.4: Ejecución 1

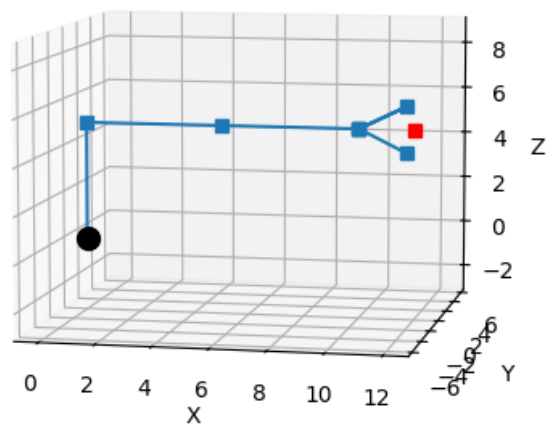


Figura 2.5: Ejecución 2

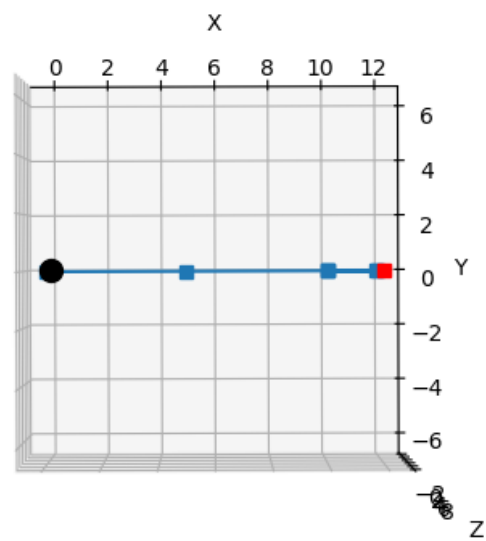


Figura 2.6: Ejecución 2, perspectiva vertical

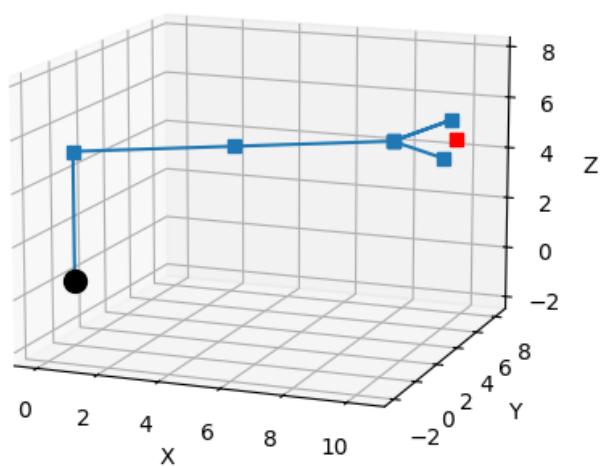


Figura 2.7: Ejecución 3

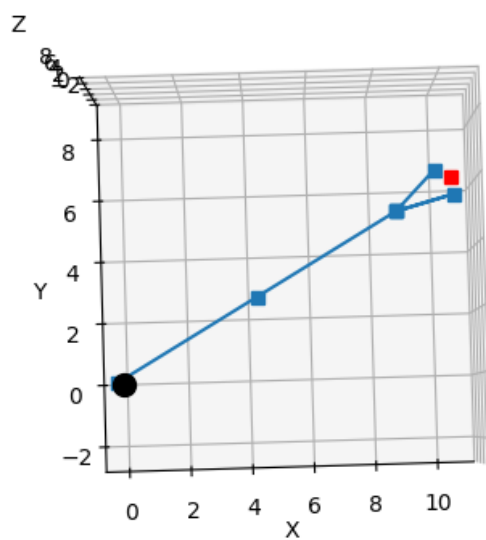


Figura 2.8: Ejecución 3, perspectiva vertical

Capítulo 3

Cinemática Inversa

En esta práctica se calcula la cinemática inversa para manipuladores bidimensionales. Es decir, se obtienen las variables articulares necesarias para alcanzar un punto objetivo en el plano. Para ello, se emplea el algoritmo iterativo *Cyclic Coordinate Descent* (CCD).

Se caracteriza el robot mediante sus articulaciones, prismáticas o de revolución, y sus parámetros de Denavit-Hartenberg θ y a (al encontrarnos en 2D solo hay 2 parámetros). Al ejecutar el script se indica las coordenadas del punto objetivo para el extremo del robot, y se obtienen las variables articulares necesarias para alcanzar dicho punto.

3.1. Código Implementado

3.1.1. Análisis

El script proporcionado contiene muchas de las funciones necesarias, sin embargo, se deben implementar varias funciones para poder calcular la cinemática inversa. Principalmente, se debe implementar la lógica del CCD. Se realiza un cálculo para cada articulación desde el extremo final (EF) hasta el origen del robot, actualizando su valor y recalculando la cinemática directa. Al finalizar, se comprueba la distancia al punto objetivo, si es menor a la tolerancia indicada (umbral de convergencia epsilon), se finaliza. En caso contrario, se itera hasta conseguir una aproximación tolerable, o que se detecte la imposibilidad de convergencia.

- Detección del tipo de articulación se distingue entre articulaciones prismáticas y de revolución.
- Cálculo de las articulaciones prismáticas Para calcular la distancia que se incrementa o decrementa la articulación, se calcula la distancia entre el extremo del robot y el punto objetivo, proyectada sobre la recta de movimiento de la articulación prismática. Esto se consigue realizando el producto del vector unitario \vec{u} , que representa la dirección de la variable prismática, y el vector \vec{v} , que une el extremo del robot y el punto objetivo. El vector \vec{u} se obtiene sumando los ángulos de todas las articulaciones previas a la actual, y calculando el seno y coseno del resultado.
- Cálculo de las articulaciones de revolución se calcula el ángulo en el que se debe modificar la articulación calculando la diferencia entre el vector \vec{v} , que une la articulación de rotación y el punto extremo EF, y el vector \vec{w} , que une la

articulación de rotación y el punto objetivo. Para ello, se normalizan ambos vectores y se calcula la diferencia entre sus arcotangentes. En la práctica, se emplea la función `math.atan2` ya que se encarga de realizar las comprobaciones necesarias de cuadrantes.

- Corrección de ángulo de rotación se corrige el ángulo calculado para que se encuentre en el rango $[-\pi, \pi]$.
- Límites se implementan límites inferiores y superiores para cada articulación. En caso de que el nuevo valor de las variables articulares este por debajo, se emplea el límite inferior, y si está por encima, el superior.

En las figuras 3.1 y 3.2 se muestra el código implementado para el CCD.

```

iteracion = 1
while (dist > EPSILON and abs(prev-dist) > EPSILON/100.):
    prev = dist
    O=[cin_dir(th,a)]

    # Para cada combinación de articulaciones:
    for i in range(len(th)):
        indice_actuador = len(th)-(i+1)
        EF = O[i][len(th)] # Punto final del brazo; Actualizacion con los calculos de cinematica directa de cada iteración

        # cálculo de la cinemática inversa:
        # O[0] son las posiciones de cada origen antes de la primera iteracion
        # alinear O[0][len(th)-(i+2)], O[0][len(th)-(i+1)]
        print("objetivo", [x for x in objetivo])
        o_rotacion = O[0][len(th)-(i+1)]
        print("O-1", [x for x in o_rotacion])

    if (art_types[indice_actuador]): # Articulación prismática
        w = 0
        for x in range(i):
            w += th[x]

        u = [math.cos(w), math.sin(w)]
        v = [objetivo[0]-EF[0], objetivo[1]-EF[1]]
        d = np.dot(u,v)

        print ("d", d);
        new_a = a[len(th)-(i+1)] + d

        # límites
        if (new_a < limit_inf[indice_actuador]):
            new_a = limit_inf[indice_actuador]
        elif (new_a > limit_sup[indice_actuador]):
            new_a = limit_sup[indice_actuador]

        a[len(th)-(i+1)] = new_a

```

Figura 3.1: Código del CCD para articulaciones prismáticas

3.1.2. Complejidad

Para la cinemática inversa, se realiza una aproximación iterativa, en la que en cada iteración se debe calcular cada articulación. Tras actualizar cada articulación, se debe recalcular la cinemática directa. Es decir, para N articulaciones en una iteración se debe calcular N veces la cinemática directa. Como se dijo en el anterior capítulo, la cinemática directa es lineal respecto al número de articulaciones, por lo que la complejidad de la cinemática inversa es cuadrática $\sim O(N^2)$.

```

else:
    # vector del punto de rotacion al punto objetivo
    w = [a - b for a, b in zip(objetivo, o_rotacion)]
    w_magnitude = sqrt( w[0]**2+ w[1]**2)
    w = [x/w_magnitude for x in w]

    # vector del punto de rotacion al punto extremo EF
    v = [a - b for a, b in zip(EF, o_rotacion)]
    v_magnitude = sqrt( v[0]**2+ v[1]**2)
    v = [x/v_magnitude for x in v]

    # arcotangente
    alpha1 = math.atan2(w[1], w[0])
    alpha2 = math.atan2(v[1], v[0])

    delta = alpha1-alpha2
    new_th = delta + th[len(th)-(i+1)]

    # corrección del ángulo (-pi <= delta <= pi)
    while new_th > math.pi:
        new_th -= 2*math.pi
    while new_th < -math.pi:
        new_th += 2*math.pi

    # límites
    if (new_th < limit_inf[indice_actuador]):
        new_th = limit_inf[indice_actuador]
    elif (new_th > limit_sup[indice_actuador]):
        new_th = limit_sup[indice_actuador]

    th[len(th)-(i+1)] = new_th # actualizamos th

# Calculamos cinemática directa
O.append(cin_dir(th,a))

```

Figura 3.2: Código del CCD para articulaciones de revolución

3.1.3. Fé de erratas

El código entregado en prácticas contenía un pequeño pero importante error. En la detección del tipo de articulación, se estaba empleando un índice incorrecto: se recorría en el orden inverso, de origen a extremo. Esto provocaba que se detectaran las articulaciones de forma incorrecta. No se había detectado en la entrega ya que los ejemplos probados eran simétricos en ese sentido. Se ha corregido este problema, y como se puede observar más adelante, el programa funciona correctamente en todos los casos.

3.2. Mejoras

Se ha implementado una sola mejora, la lectura de JSON.

3.2.1. Lectura de JSON

Se leen las características de cada articulación desde un fichero JSON. Cada articulación se caracteriza por su tipo (rotación o prismática), sus parámetros de Denavit-Hartenberg (th y a), y sus límites inferiores y superiores, expresados en unidades de longitud o radianes.

En el fichero, las articulaciones se indican en orden desde el origen hasta el extremo, siendo la primera la más cercana al origen.

En la figura 3.3 se muestra el código implementado para la lectura de JSON. En la figura 3.4 se observa un ejemplo de fichero JSON para un robot con una articulación de rotación, otra prismática, y otra de revolución.

```
# Variables del manipulador

art_types = [] # Tipos de articulación; 1 = prismatica, 0 = rotacion
# valores articulares arbitrarios para la cinemática directa inicial
th=[]
a=[]
# límites superiores e inferiores
limit_sup=[]
limit_inf=[]

# Lectura de fichero
with open("robot.json", "r") as file:
    data = json.load(file)

for articulacion in data:
    if (articulacion['type'] == "rotacion"):
        art_types.append(0)
    elif (articulacion['type'] == "prismatica"):
        art_types.append(1)
    th.append(articulacion['th'])
    a.append(articulacion['a'])
    limit_sup.append(articulacion['limit_sup'])
    limit_inf.append(articulacion['limit_inf'])
```

Figura 3.3: Código para la lectura de JSON

3.2.2. Propuestas

Actualmente solo se consideran las dimensiones iniciales del robot para la visualización. Sería interesante considerar también las coordenadas del punto objetivo para garantizar que se visualiza correctamente.

3.3. Ejemplos de Ejecución

En la figura 3.5 se muestra un ejemplo de fichero JSON con las características de un robot de 5 articulaciones.

```

1  [
2      {
3          "type": "rotacion",
4          "th": 0,
5          "a": 5,
6          "limit_inf": 0,
7          "limit_sup": 0.4
8      },
9      {
10         "type": "prismatica",
11         "th": 0,
12         "a": 5,
13         "limit_inf": 0,
14         "limit_sup": 2
15     },
16     {
17         "type": "rotacion",
18         "th": 0,
19         "a": 5,
20         "limit_inf": 0,
21         "limit_sup": 2
22     }
23 ]

```

Figura 3.4: Ejemplo de fichero JSON para un robot de 3 articulaciones

3.3.1. Ejecución 1

En la figura 3.6 se muestra la primera iteración del algoritmo sobre el robot descrito considerando como objetivo el punto 10,10. En la figura 3.7 se muestra la última iteración del algoritmo, en la que se ha alcanzado el umbral de convergencia. En este caso, se consigue converger en solo 2 iteraciones.

3.3.2. Ejecución 2

En la figura 3.8 se muestra la primera iteración del algoritmo sobre el robot descrito considerando como objetivo el punto -20,-20. En la figura 3.9 se muestra la última iteración del algoritmo, en la que se ha alcanzado el umbral de convergencia. En este caso, se consigue converger en 5 iteraciones. Se aprovecha este ejemplo para estudiar la influencia del valor del umbral de convergencia en el número de iteraciones necesarias. El epsilon empleado por defecto es de 0.01, cambiándolo a 0.1 se converge en 4 iteraciones, una menos, con una distancia al objetivo de 0.01663 unidades. Se comprueba por tanto empíricamente que un umbral mayor implica menos iteraciones, pero también una menor precisión en el resultado obtenido.

3.3.3. Ejecución 3

Empleando el robot de la figura 3.4 se comprueba que se detectan los casos en los que no se converge, esto es, no existe solución para alcanzar el punto objetivo con el robot dado.

La figura 3.10 muestra la última iteración para el punto objetivo 10,10. Por los límites establecidos, el robot solo puede alcanzar puntos a un radio de 12 unidades, por lo que no puede llegar al punto 10,10. En la figura 3.11 se muestra la salida por consola indicando

que no se ha podido converger, ya que se detecta que la distancia al objetivo ha disminuido menos de $\epsilon/100$.

3.4. Conclusions

We have implemented the inverse kinematics for a 2D manipulator, using the CCD algorithm. The implementation considers both prismatic and revolute joints, for which we admit lower and upper limits. We have studied the effects of different convergence thresholds, seen that a higher threshold implies less iterations but also less precision. Also, we have studied the complexity of the inverse kinematics with the CCD algorithm. We have seen that it is quadratic, as it is an iterative process in which we must calculate the direct kinematics for each articulation in each iteration.

We can conclude that the inverse kinematics are generally more complex and expensive than the direct kinematics, as an exact approach is not always valid because for some configurations there may exist multiple or none solutions.

```

1  [
2    {
3      "type": "rotacion",
4      "th": 0,
5      "a": 5,
6      "limit_inf": -5,
7      "limit_sup": 5
8    },
9    {
10     "type": "prismatica",
11     "th": 0,
12     "a": 5,
13     "limit_inf": 0,
14     "limit_sup": 1000
15   },
16   {
17     "type": "rotacion",
18     "th": 0,
19     "a": 5,
20     "limit_inf": -5,
21     "limit_sup": 5
22   },
23   [
24     {
25       "type": "rotacion",
26       "th": 0,
27       "a": 5,
28       "limit_inf": -5,
29       "limit_sup": 5
30     },
31     {
32       "type": "prismatica",
33       "th": 0,
34       "a": 5,
35       "limit_inf": 0,
36       "limit_sup": 1000
37     }
38   ]
39 ]

```

Figura 3.5: Ejemplo de fichero JSON para un robot de 5 articulaciones

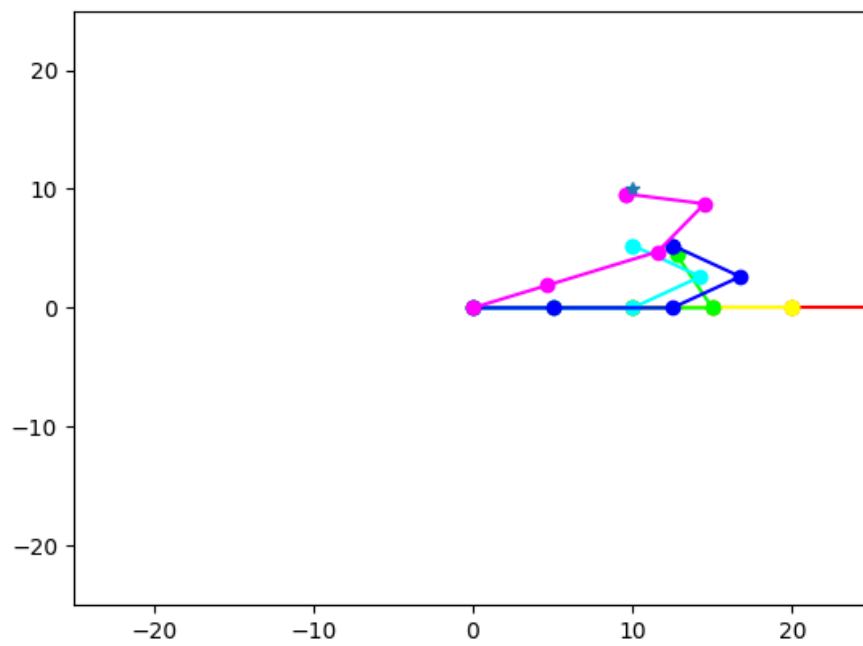


Figura 3.6: Primera iteración para objetivo 10,10

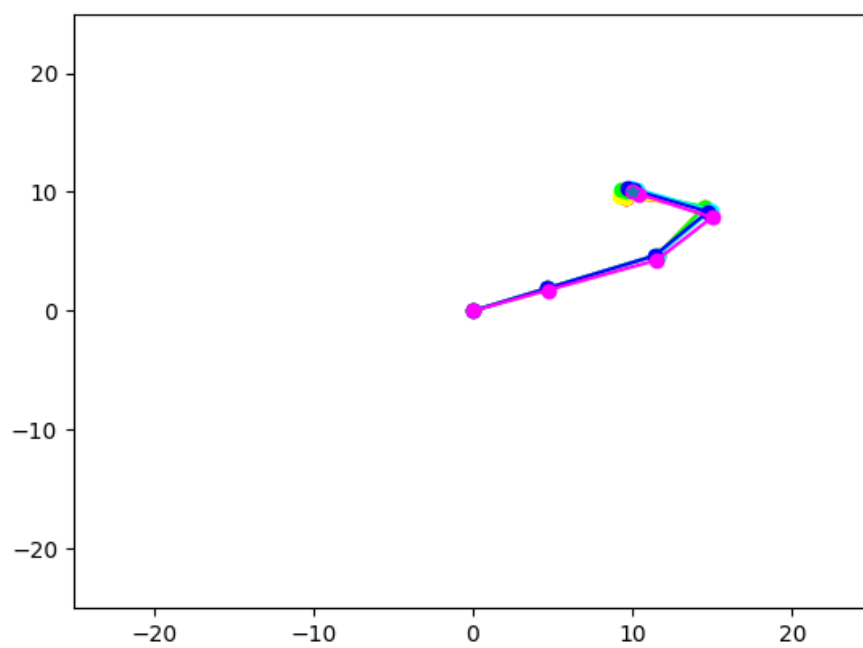


Figura 3.7: Última iteración para objetivo 10,10

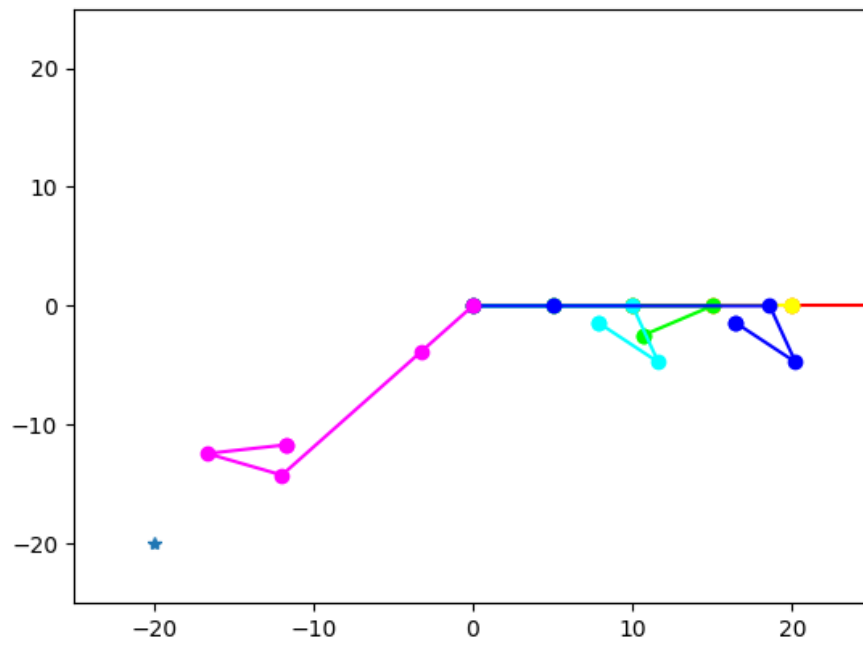


Figura 3.8: Primera iteración para objetivo -20,-20

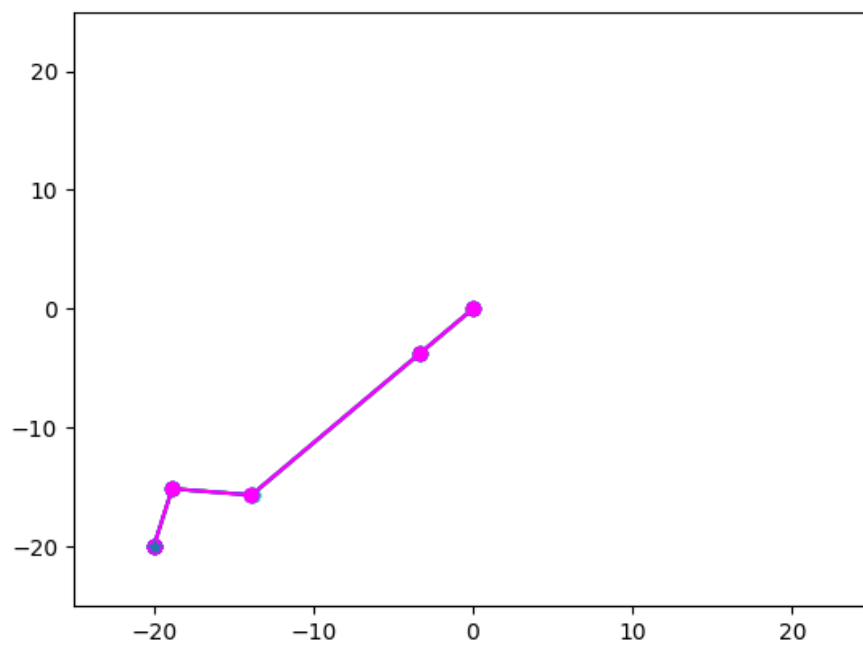


Figura 3.9: Última iteración para objetivo -20,-20

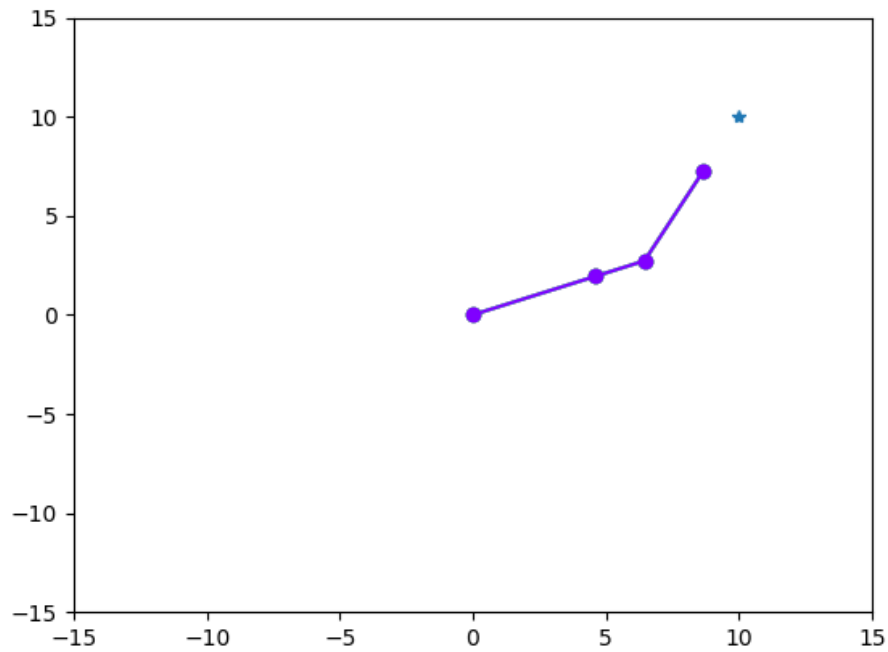


Figura 3.10: Última iteración para objetivo 10,10

```
- Iteracion 5:
Origenes de coordenadas:
(00)0 = [0, 0]
(01)0 = [4.605, 1.947]
(02)0 = [6.447, 2.726]
(03)0 = [8.642, 7.219]

Distancia al objetivo = 3.09524

No hay convergencia tras 6 iteraciones.
- Umbral de convergencia epsilon: 0.01
- Distancia al objetivo: 3.09524
- Valores finales de las articulaciones:
  theta1 = 0.4
  theta2 = 0
  theta3 = 0.716
  L1 = 5
  L2 = 2
  L3 = 5
(base) jr@jr-All-Series:~/Downloads$
```

Figura 3.11: Salida por consola cuando no converge

Capítulo 4

Localización

En esta práctica se aborda el problema de localización de un robot móvil. Se considera un robot con un sistema sensor, que tiene un cierto error de medición, y unas balizas, que son los puntos respecto a los que se toman las mediciones. En este caso, las balizas son a la vez los objetivos, es decir, describen la ruta que debe seguir el robot. Para esta simulación se calcula la predicción o modelo de la posición del robot, en base al movimiento que se realiza en los actuadores. No obstante, este movimiento tiene un cierto ruido, por lo que la posición real del robot dista de la posición ideal o estimada. Por tanto, se deben emplear las mediciones para corregir el modelo y ajustarlo a la realidad.

4.1. Código Implementado

El script proporcionado contiene muchas de las funciones necesarias, sin embargo, se debe implementar código para poder calcular la localización.

4.1.1. Análisis

Se implementan las siguientes características:

- **Función de localización:** Dadas las balizas, el robot ideal, el robot real y las mediciones, se toma un punto de búsqueda a partir del cual se explora un área cuadrada comprendida entre $-\text{radio}$ y radio , usando un incremento indicado como parámetro. Se comprueban todas las posiciones posibles dentro de ese área, y se calcula la probabilidad de cada una en función de las mediciones del sensor y las posiciones de las balizas. Por último, se devuelve la posición con mayor probabilidad. Esta función se puede observar en la figura 4.1.
- **Localización inicial:** Para comenzar la localización, se debe determinar la posición en la que comienza el robot. 4.3.
- **Ajuste de la posición:** Mientras el robot se mueve, se debe verificar si la posición predicha es correcta, para ello se comprueba la probabilidad de las mediciones de los sensores respecto a la posición predicha. Se establece un umbral de error, que al ser superado causa un ajuste de la posición del modelo. Para ello, se emplea la función de localización descrita, tomando un radio de $2 * \text{error_mediciones}$. 4.4.

En la figura 4.5 se observan algunos de los parámetros que se han indicado del script, más adelante se experimentará con ellos.


```

59 # Centro = vector [x, y]
60 def localizacion(balizas, real, ideal, centro, radio, limite_incremento, incremento_angulo, mostrar=0):
61     # Buscar la localización más probable del robot, a partir de su sistema
62     # sensorial, dentro de una región cuadrada de centro "centro" y lado "2*radio".
63     mejor_pose = ideal.pose()
64     error_mejor_pose = 1000 # Valor arbitrario alto
65
66     # Búsqueda en "pirámide", cada iteración elige una cuadrícula
67     incremento = radio
68     while incremento > limite_incremento:
69         imagen = []
70         print("Radio: ", radio, "Incremento: ", incremento)
71         # Buscar mejores coordenadas
72         for y in np.arange(-radio, radio, incremento):
73             imagen.append([])
74             for x in np.arange(-radio, radio, incremento):
75                 ideal.set(centro[0] + x + radio/2, centro[1] + y + radio/2, ideal.orientation)
76                 error_actual = real.measurement_prob(ideal.sense(balizas), balizas)
77                 imagen[-1].append(error_actual)
78
79                 if error_actual < error_mejor_pose:
80                     error_mejor_pose = error_actual
81                     mejor_pose = ideal.pose()
82
83     if mostrar:
84         #plt.ion() # modo interactivo
85         plt.xlim(centro[0]-radio,centro[0]+radio)
86         plt.ylim(centro[1]-radio,centro[1]+radio)
87         imagen.reverse()
88         plt.imshow(imagen,extent=[centro[0]-radio,centro[0]+radio,\
89                                 | centro[1]-radio,centro[1]+radio])
90         balT = np.array(balizas).T.tolist();
91         plt.plot(balT[0],balT[1],'or',ms=10)
92         plt.plot(mejor_pose[0],mejor_pose[1],'D',c='#ff00ff',ms=10,mew=2)
93         plt.plot(real.x, real.y, 'D',c='#00ff00',ms=10,mew=2)
94         plt.show()
95         # input()
96         plt.clf()
97
98     # Actualizamos la "pirámide"
99     centro = [mejor_pose[0], mejor_pose[1]]
100     radio /= 2
101     incremento = radio
102

```

Figura 4.1: Primera parte de la función de localización

4.1.2. Complejidad

Los cálculos del algoritmo de localización se deben realizar al inicio, y luego cuando se supera el umbral de error. Por tanto, el rendimiento del programa dependerá del ruido en el movimiento, así como del ruido de los sensores, y principalmente, del umbral de error considerado. Un mayor umbral resulta en menos cálculos, mientras que un umbral menor requiere una mayor precisión, y por tanto, más cálculos. Se debe tener cuidado, puesto que un umbral demasiado bajo puede causar cálculos excesivos debido a los ruidos de sensores.

Respecto a la función de localización, su complejidad depende del radio y el incremento considerado. Un menor incremento realiza un barrido más exhaustivo del área, pero requiere más cálculos. Por tanto, es importante elegir un valor que consiga un balance entre precisión y rendimiento.

4.2. Mejoras

En adición al comportamiento básico, se han implementado varias mejoras:

```

102
103     # Buscar mejor orientación
104     mejor_orientacion = ideal.orientation
105     for angulo in np.arange(-pi, pi, incremento_angulo):
106         ideal.set(mejor_pose[0], mejor_pose[1], angulo)
107         error_actual = real.measurement_prob(ideal.sense(balizas), balizas)
108
109         if error_actual < error_mejor_pose:
110             error_mejor_pose = error_actual
111             mejor_pose = ideal.pose()
112
113     print("Error mejor pose: ", error_mejor_pose)
114     return mejor_pose
115

```

Figura 4.2: Fin de la función de localización

```

172 #####
173 # Exploracion inicial#
174 #####
175 # Se toma un radio según las coordenadas máximas y mínimas de balizas + margen
176
177 # Obtener las componentes por separado
178 valores_x, valores_y = zip(*objetivos)
179
180 # Calcular los mínimos y máximos
181 min_x, max_x = min(valores_x), max(valores_x)
182 min_y, max_y = min(valores_y), max(valores_y)
183
184 centro_inicial = [(min_x + max_x) / 2, (min_y + max_y) / 2]
185 # Calculamos el radio como el máximo entre la distancia vertical u horizontal
186 radio_inicial = max(abs(max_x - min_x), abs(max_y - min_y))/2 + MARGEN
187 # radio_inicial = sqrt((max_x - min_x)**2 + (max_y - min_y)**2) / 2 + MARGEN
188
189 inicial = localizacion(objetivos, real, ideal, centro_inicial, radio_inicial, LIMITE_INCREMENTO, INCREMENTO_ANGULO, 1)
190 ideal.set(*inicial)
191

```

Figura 4.3: Localización inicial

4.2.1. Ajuste de la orientación

Además del ajuste de la posición, se implementa un cálculo similar para detectar la orientación (rotación) más probable. Se realiza un barrido entre $-\pi$ y π con un incremento dependiente de un parámetro, y se calcula la probabilidad de cada orientación en función de las mediciones y la posición previamente predicha. El código correspondiente se aprecia en la figura 4.2.

4.2.2. Uso de incremento piramidal

En lugar del comportamiento descrito previamente, en el que se emplea un incremento constante para el barrido del área a estudiar, se emplea un algoritmo de barrido piramidal, en el que en cada iteración se divide el área en 4 cuadrantes, estudiándose el centro de cada uno, y seleccionando el cuadrante con mayor probabilidad. Este proceso se repite hasta que los cuadrantes tienen un tamaño inferior a un límite establecido. El código correspondiente se muestra en la figura 4.1. Cabe destacar que esta forma es mucho más eficiente para estudiar el área, puesto que se evitan cálculos innecesarios. Sin embargo, se puede perder un poco de precisión ya que es posible que se seleccione un cuadrante erróneo si el punto se sitúa en el extremo entre dos, debido a los ruidos.

```

192 for punto in objetivos:
193     while distancia(tray_ideal[-1],punto) > EPSILON and len(tray_ideal) <= 1000:
194         pose = ideal.pose()
195
196         w = angulo_rel(pose,punto)
197         if w > W: w = W
198         if w < -W: w = -W
199         v = distancia(pose,punto)
200         if (v > V): v = V
201         if (v < 0): v = 0
202
203         if HOLONOMICO:
204             if GIROPARADO and abs(w) > .01:
205                 v = 0
206                 ideal.move(w,v)
207                 real.move(w,v)
208             else:
209                 ideal.move_triciclo(w,v,LONGITUD)
210                 real.move_triciclo(w,v,LONGITUD)
211                 tray_ideal.append(ideal.pose())
212                 tray_real.append(real.pose())
213
214         # Comparar baliza real e ideal; si la diferencia es grande, localizar
215         diferencia_mediciones = real.measurement_prob(ideal.sense(objetivos), objetivos)
216         print("Medicion: ", diferencia_mediciones)
217         # Si la diferencia es grande, localizar
218         if (diferencia_mediciones > UMBRAL_DIF_TRAECTORIA):
219             # radio de localización = 2 * diferencia
220             ideal.set(*localizacion(objetivos, real, ideal, [ideal.x, ideal.y], 2*diferencia_mediciones, LIMITE_INCREMENTO, INCREMENTO_ANGULO)) # actualizar pose
221
222         espacio += v
223         tiempo += 1
224

```

Figura 4.4: Corrección de la posición

```

118 # Parametros
119 UMBRAL_DIF_TRAECTORIA = 0.1 # Diferencia entre mediciones ideales y reales a partir de la que se corrige la pose ideal
120 LIMITE_INCREMENTO = 0.05 # Precisión al estimar la localización
121 INCREMENTO_ANGULO = 0.01 # incremento al probar la mejor orientacion
122 MARGEN = 1 # Borde que se añade en la localización inicial sobre el area de las balizas
123 # RADIO = 1 # Constante arbitraria
124
125 # Definición del robot:
126 P_INICIAL = [0.,4.,0.] # Pose inicial (posicion y orientacion)
127 V_LINEAL = .7 # Velocidad lineal (m/s)
128 V_ANGULAR = 140. # Velocidad angular (°/s)
129 FPS = 10. # Resolucion temporal (fps)
130
131 HOLONOMICO = 1
132 GIROPARADO = 0
133 LONGITUD = .2

```

Figura 4.5: Parámetros de la localización

4.2.3. Cálculo de un radio inicial en función de las balizas y margen

La alternativa inicial consiste en establecer un radio arbitrario para el primer barrido. En su lugar, se decide implementar un cálculo del cuadrado que contiene a las balizas, mediante la selección de los mínimos y máximos de las componentes de sus coordenadas. A este área se le suma un cierto margen en el que puede encontrarse el robot. De esta forma se consigue una aproximación más precisa en función de la geometría de las balizas.

4.3. Ejemplos de ejecución

4.3.1. Ejemplo 1

Se estudia la ejecución para un caso de 4 balizas, con un límite de incremento para la localización de 0.05 y un umbral para la corrección de trayectoria de 0.1. El resto de parámetros se mantienen en sus valores por defecto.

En primer lugar analizamos la localización inicial. En la figura 4.6 se observa la primera iteración. Se distinguen los 4 cuadrantes y se muestra en tonos morados el que tiene

mayor probabilidad. Además, se observa la posición real del robot con un diamante verde, y la posición estimada, que corresponde con el centro del cuadrante, con un diamante violeta. A continuación, en la figura 4.7 se muestra la última iteración, en la que se observa que la posición estimada está bastante cerca de la real, (4.0625, -0.0650) vs (4.0, 0.0) respectivamente. Además observamos que en esta iteración la probabilidad de los centros de los cuadrantes es menor que la de probabilidad de la iteración previa, por lo que la posición estimada se mantiene sin cambios.

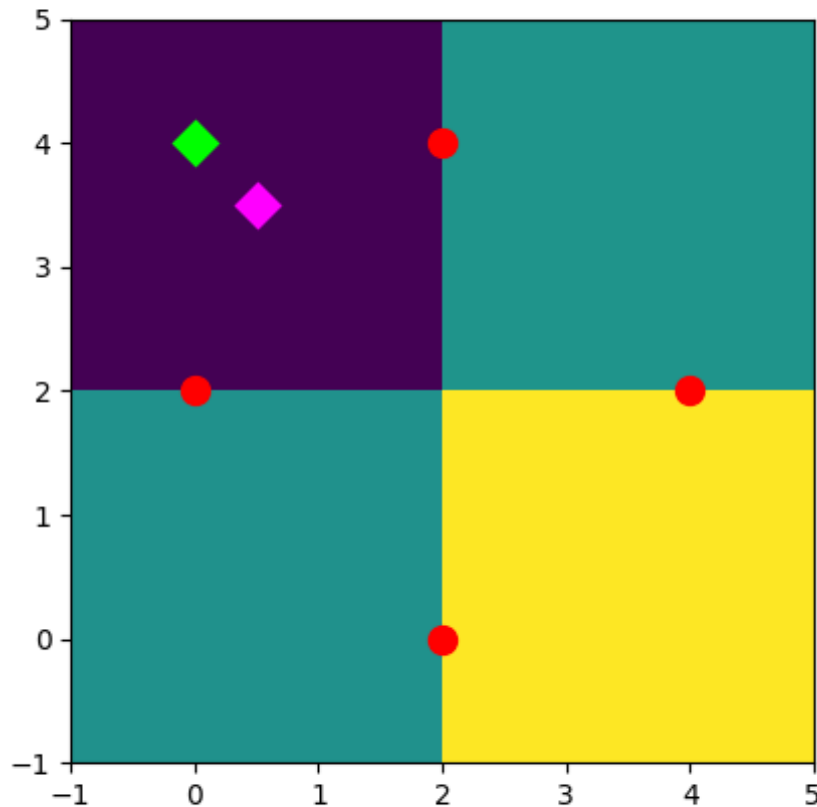


Figura 4.6: Primera iteración de la localización inicial

En la figura 4.8 se observa la evolución de la posición real del robot en rojo, así como las correcciones de la posición ideal, en verde. Vemos como cuando la trayectoria predicha se separa lo suficiente de la real, se realiza una corrección.

4.3.2. Ejemplo 2

Mantenemos los valores del experimento anterior, pero disminuimos el umbral a 0.01, lo que debería aumentar la precisión de la trayectoria ideal. En la figura 4.9 observamos el resultado de ejecución. Cabe destacar que se han realizado giros alrededor de todas las balizas, incluso varios en el caso de la baliza izquierda. Esto es debido a que la trayectoria predicha se ha quedado a una distancia mayor al umbral de las balizas, por lo que se ha tenido que ajustar la trayectoria real para asegurarse de que pasa por las balizas. Además, observamos que la trayectoria ideal, en verde, se reajusta más veces que en el ejemplo 1.

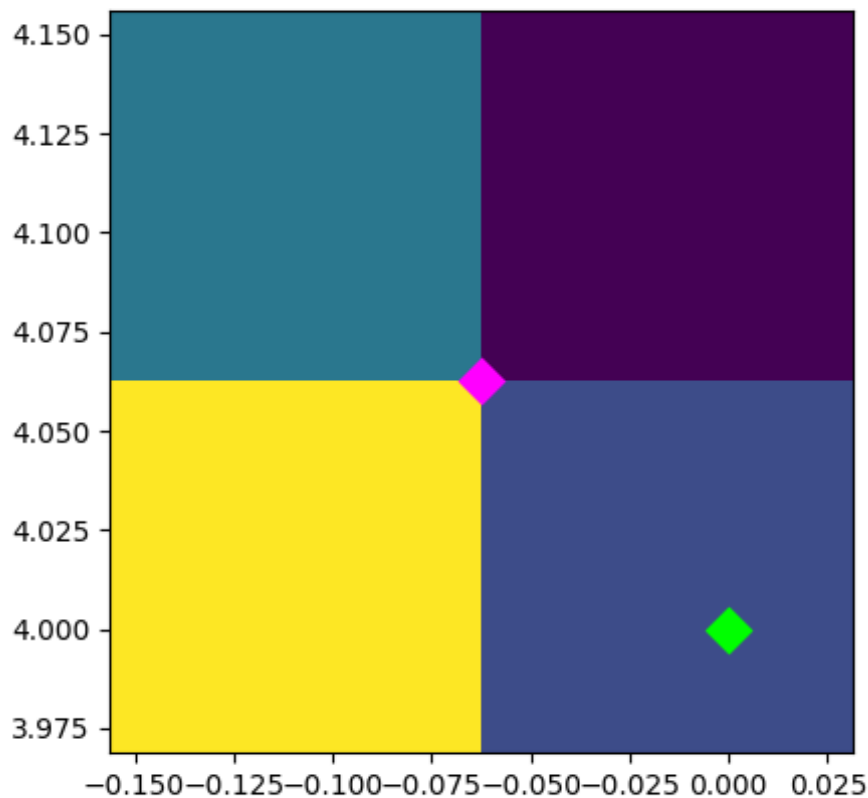


Figura 4.7: Última iteración de la localización inicial

4.3.3. Ejemplo 3

Ahora consideramos la configuración del ejemplo 2, pero aumentamos la velocidad angular a 240° por segundo (por defecto estaba a $140^\circ/\text{s}$). En la figura 4.10 se observa la trayectoria del robot. Constatamos que los giros son más cerrados.

4.3.4. Ejemplo 4

En este caso mantenemos los valores del ejemplo 2, pero reducimos la velocidad angular a 40° por segundo. En la figura 4.11 se observa la trayectoria del robot. Vemos que ahora los giros son más abiertos, y en consecuencia, el robot tarda más en realizar el recorrido y requiere computar más posiciones.

4.4. Conclusions

We have implemented an algorithm for modelling the position and orientation (the pose) of a mobile robot, considering the predicted pose and making adjustments based on sensor measurements regarding the position of beacons. We have made improvements such as using a variable increment for the search area through a pyramidal approach.

Also, we have considered the complexity of the algorithm, which depends on the noise

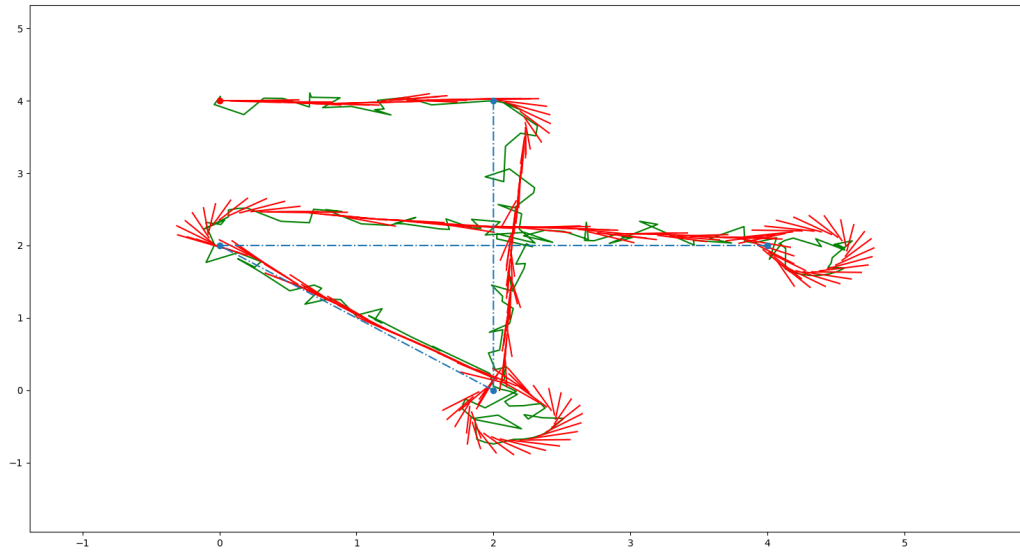


Figura 4.8: Trayectoria del ejemplo 1

in the movement and sensors, as well as the threshold for the error. A lower threshold requires more calculations, so it is important to find a balance between precision and performance. This has been proved experimentally. Additionally, we have also tested the impact of the angular velocity on the robot's trajectory, seen that a higher angular velocity results in tighter turns whereas a lower angular velocity results in wider turns and usually a longer trajectory.

Although the algorithm has performed well on the experiments, it has a relatively high computational cost, and a more efficient approach will be discussed in the next chapter, the particle filter.

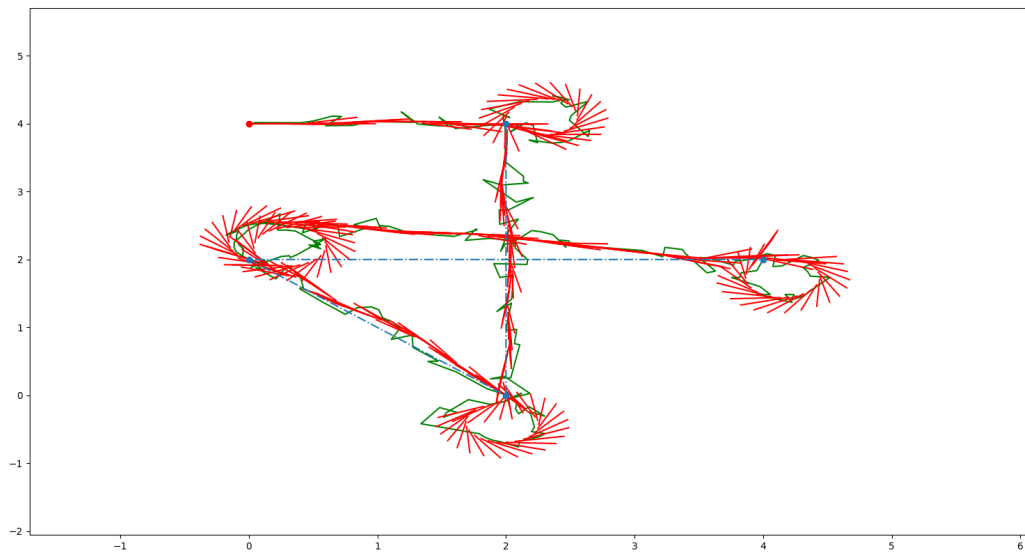


Figura 4.9: Trayectoria del ejemplo 2

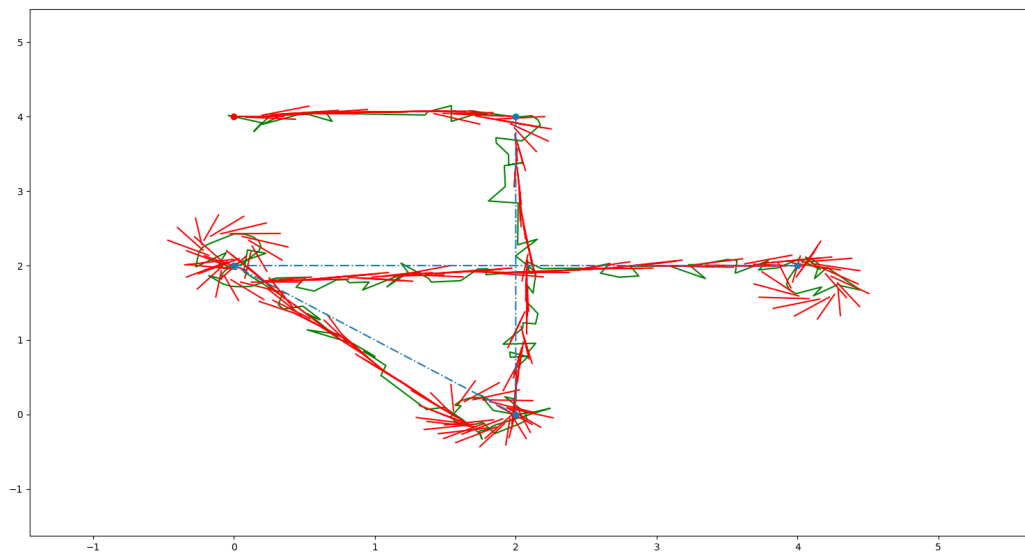


Figura 4.10: Trayectoria del ejemplo 3

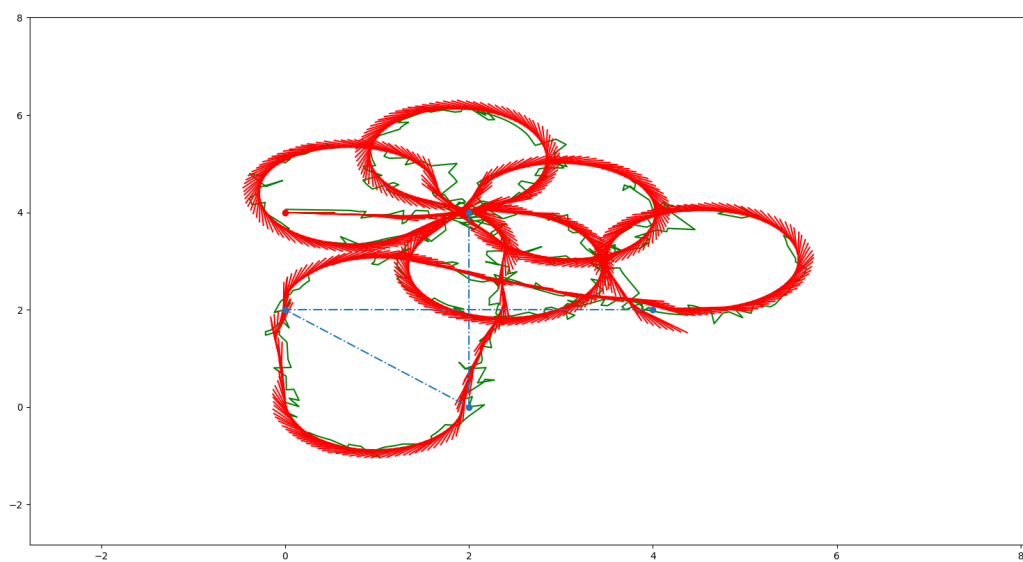


Figura 4.11: Trayectoria del ejemplo 4

Capítulo 5

Filtro de Partículas

5.1. Código Implementado

5.1.1. Análisis

5.1.2. Complejidad

5.2. Mejoras

5.2.1. Ajuste de la orientación

5.2.2. Uso de incremento piramidal

5.2.3. Cálculo de un radio inicial en función de las balizas y margen

5.3. Ejemplos de ejecución

5.4. Conclusions

Bibliografía